

## تعیین هندسه قبل از لغزش در زمین‌لغزش‌ها با نگرشی به زمین‌لغزش محمدآباد جیرفت

مهدي محمدى (كارشناس ارشد)

حسين توکلی (استاديار)

دانشکده فنی و هندسى، دانشگاه شهداد هاشم کرمان

يکى از بحرانى ترین مراحل تحليل پيدارى شيروانى‌ها، تعیین يا ارزى يابى پارامترهای مقاومت برشی بسیج شده در لحظه‌ی شکست است. انتظار مى رود در امتداد سطح گسمیختگی، پارامترهای مقاومت برشی بسیج شده به پارامترهای مقاومت برشی بیشتر باشد. برای تعیین پارامترهای مقاومت برشی بسیج شده در يك شيروانى لغزش یافته، به هندسه‌ی قبل از لغزش نیاز است. با داشتن هندسه‌ی قبل از لغزش مى توان پارامترهای مقاومت برشی در آستانه‌ی لغزش را به شیوه‌ی آنالیز برگشتی تعیین کرد و وضعیت فعلی شيروانى را مورد بررسی قرار داد. همچنین با استفاده از نتایج مى توان دیگر شيروانى‌های منطقه را مورد ارزیابی قرار داد. در این نوشتار برای تعیین هندسه‌ی قبل از لغزش، با داشتن هندسه‌ی بعد از لغزش و همچنین نقاط نظیر به نظر لغزش یافته، از توابع برگشت‌پذیر نمایی استفاده شده و هندسه‌ی قبل از لغزش با نرم‌افزار Surfer8 شبیه‌سازی شده است.

mohammadi4732@yahoo.com  
tavakoli@mail.uk.ac.ir

وازگان کلیدی: زمین‌لغزش، توپوگرافی قبل از لغزش، آنالیز برگشتی، توابع برگشت‌پذیر، Surfer8.

### ۱. مقدمه

زون ساختاری موسوم به کمریند آتشفسانی سهند در بزمان قرار داشته و از نقطه‌نظر سنگ‌شناصی شامل سنگ‌های آذرین بیرونی از نوع آندزیت، بازلت، ریولیت، ریوداسیت، داسیت و سنگ‌های آذرآواری از نوع آکلومرا است. همچنین لایه‌های متعدد رسوبی نیز در این محدوده دیده می‌شود که بیشتر از خانواده‌ی رس‌ها هستند. منطقه‌ی موردنظر از لحظه‌ی سننی مربوط به دوره‌ی ائوسن بوده و از لحظه‌ی بخزی با توجه به تراکم بالای گسل‌ها و تاریخچه‌ی زلزله‌های به‌وقوع پیوسته فعال محسوب می‌شود؛ اکثر گسل‌های منطقه روند شمالی - جنوبی یا شمال‌غربی - جنوب‌شرقی دارند. از جمله گسل‌های فعال منطقه می‌توان به گسل جیرفت، به و ساردوییه اشاره کرد.<sup>[۱]</sup> منطقه‌ی محمدآباد در تابستان از لحظه‌ی آب و هوا و پوشش‌گیاهی دارای آب و هوای معتدل نسبتاً گرم است. زمستان‌های منطقه معمولاً سرد و همراه با بارش نزولات جوی -- خصوصاً برف -- است اگرچه، با توجه به خشک‌سالی‌های چندسال اخیر استان کرمان، نزولات جوی کاهش یافته‌اند. در سراسر کوهستان‌های منطقه درختچه‌هایی با ارتفاع کم تا متوسط به صورت خودرو، یا درخت‌های کاشته شده توسط اهالی منطقه به چشم می‌خورد. همچنین طول و عرض جغرافیایی منطقه مورد نظر به ترتیب<sup>[۲]</sup> ۵۷°۵۳'۲۹" و ۵۶°۴۶'۲۸" است.<sup>[۳]</sup> وسعت لغزش منطقه‌ی محمدآباد بیش از ۲۵ هزارمتر مربع است. طول توده‌ی لغزش ۲۲۰ مترو و عرض لغزش در تاج ۵۰ مترو در قسمت میانی حدود ۱۱۴ مترو در بائین حدود ۶۰ متر است؛ ارتفاع پرتوگاه اصلی نیز حدود ۱۱ متر است. شکل ۱ نمای کلی زمین‌لغزش، و شکل ۲ قسمتی از پرتوگاه اصلی را که دارای ارتفاع ۴ تا

### ۲. مشخصات و هندسه‌ی زمین‌لغزش

زمین‌لغزش محمدآباد جیرفت در استان کرمان در سال ۱۳۷۸ به وقوع پیوست. در اثر وقوع این رانش قسمتی از محور ارتباطی کرمان-جیرفت تخریب شد و خساراتی بر جای گذاشت. زمین‌لغزش مورد بررسی در محمدآباد، متعلق به بخش جبال‌بارز از شهرستان جیرفت در استان کرمان و در کیلومتر ۱۲۰ محور ارتباطی کرمان-جیرفت که قدمتی ۳۰ ساله دارد اتفاق افتاده است. بخش جبال‌بارز با طولی حدود ۲۵۰ کیلومتر به باتلاق جازموریان ختم می‌شود. منطقه‌ی جبال‌بارز از نقطه‌نظر زمین‌شناسی در

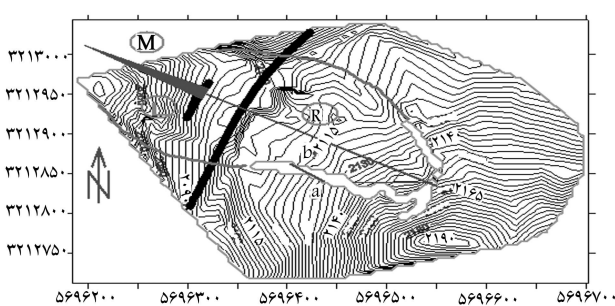
### ۳. تعیین هندسه قبل از لغزش

برای آن که بتوان تحلیلی دقیق بر روی یک شیروانی لغزش یافته یا زمین‌لغزش داشت بایستی توپوگرافی قبل از لغزش را به دست آورد تا بتوان پارامترهای برآشی بسیج شده در هنگام لغزش را تعیین کرد.

#### ۱.۳. روش کار

سطح لغزش در منطقه رخمنون نسبتاً وسیعی دارد که به دقت نقشه‌برداری شده است (شکل ۴). چنان که در این شکل مشاهده می‌شود، بقایای جاده‌ی قبلي که در اثر لغزش به طرف پایین دره رانده شده است نیز موجود است؛ بنابراین جابه‌جایی‌ها در پایین دست و بالا دست مشخص‌اند و کاملاً واضح است که نقاط بالا و پایین رخمنون سطح لغزش در پرتگاه و همچنین لبه‌های جاده‌ی فعلی و جاده‌ی رانده شده قبل از لغزش کاملاً بر هم منطبق بوده‌اند. به عبارت دیگر اگر نقطه‌ی در بالای سطح لغزش در نظر گرفته شود، با توجه به جهت حرکت تode (که عمود بر امتداد سطح لغزش است) می‌توان محلی را که همانکنون نظری این نقطه است پیدا کرد. به عنوان مثال در شکل ۵ حرکت تode از نقطه‌ی  $a$  آغاز شده است و در جهت خط  $ab$  امتداد یافته تا به نقطه‌ی  $b$  رسیده است. در این شکل، جابه‌جایی تode در راستای لغزش با بردار  $M$  مشخص شده است.

حرکت تode در قسمت‌های مختلف این شکل یکسان نیست، به‌طوری که افت ارتفاع نقاط در پهلوی چپ تode لغزشی بیش از پهلوی راست آن است (به‌علت وجود پیه‌ی مقابله‌پهلوی راست که موجب کمتر شدن حرکت آن شده است)، درنتیجه برای برگشت مناسب جابه‌جایی‌های هر نقطه با توجه به موقعیت آن، تode لغزشی به دو قسمت راست ( $R$ ) و چپ ( $L$ ) تقسیم شد تا محاسبات برای هر قسمت به صورت مجزا انجام شود. با توجه به بردار  $M$  که جهت لغزش را نشان می‌دهد، بردار جابه‌جایی‌ها را باید در جهت سه مؤلفه‌ی  $X$ ,  $Y$  و  $Z$  به دست آورد، تا بخش‌های مختلف تode به سمت بالا برگشت داده شود. بدین‌منظور انتهای بردار در جایی قرار می‌گیرد که لغزش از آن قسمت شروع شده است. به عبارت دیگر، انتهای بردار در تاج دیواره‌ی پرتگاه قرار می‌گیرد تا کلیه‌ی تغییرات براساس آن سنجیده شود. با توجه به توضیحات یادشده، می‌توان نقاط نظری به نظری را نسبت به بردار  $M$  انتخاب کرد. برای این منظور چنانچه از روی سطحی که لغزش شروع شده در جهت موافق بردار  $M$  حرکت صورت گیرد تا به سطحی که لغزش اتفاق افتاده برسیم می‌توان نقاط نظری به نظری را مشخص کرد، و تغییرات این نقاط جابه‌جا شده نسبت به بردار  $M$  را سنجید. به عنوان مثال، چنان‌که ذکر شد اگر از نقطه‌ی  $a$  در جهت بردار  $M$  حرکت کنیم به نقطه‌ی  $b$  می‌رسیم. خط  $-b-a$  دو نقطه‌ی نظری به نظری در سمت چپ تode



شکل ۵. تقسیم‌شدن منطقه به دو قسمت.

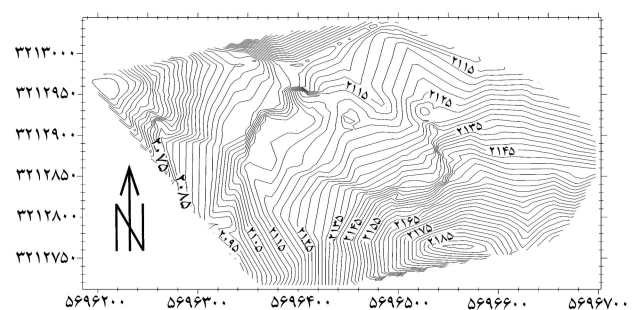
۶ متر است نشان می‌دهد. امتداد دیواره‌ی پرتگاه تقریباً شمال‌شرقی-جنوب‌غربی است. منطقه به روش ناکوتومتری نقشه‌برداری شده است.<sup>[۵]</sup> شکل ۳ توپوگرافی منطقه و شکل ۴ مدل شبیه‌سازی شده زمین‌لغزش را نشان می‌دهد. لازم به ذکر است که برای تعیین مختصات از روش UTM استفاده شده است.



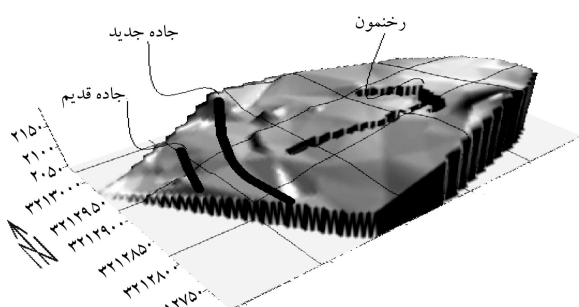
شکل ۱. نمای کلی زمین‌لغزش.<sup>[۲]</sup>



شکل ۲. قسمتی از پرنگاه اصلی.<sup>[۲]</sup>



شکل ۳. توپوگرافی منطقه‌ی لغزش یافته.<sup>[۲]</sup>



شکل ۴. مدل شبیه‌سازی شده از زمین‌لغزش اتفاق افتاده.<sup>[۲]</sup>

راستا مشخص باشد. چنان که در شکل ۵ نیز نشان داده شده، اگر در جهت  $MZ$  بر روی توده مقطع زده شود حرکت توده‌ی لغزش یافته به صورت منحنی غیردایره‌ی است و حرکت رویه نیز متأثر از سطح لغزش است؛ و اگر بردار  $M$  در صفحه‌ی  $X, Y$  تصویر شود مشخص است که لغزش توده به صورت منحنی است. ابعاد رخمنون نیز گویای همین مسئله است، و بنابراین با توجه به منحنی بودن لغزش در صفحه‌ی  $X, Y$  و در جهت  $MZ$  از تابع نمایی استفاده شد. نتایج رگرسیون نمایی و همچنین ضرایب ثابت در شکل ۶ برای ناحیه‌ی راست و در شکل ۷ برای ناحیه‌ی چپ را نشان می‌دهد.

حال با توجه به روابط ۳ تا ۵ می‌توان تغییرات نقاطه‌برداری شده در روی توده‌ی لغزش یافته برای ناحیه‌ی راست، و روابط ۶ تا ۸ برای ناحیه‌ی چپ را با توجه به بردار  $M$  به دست آورد.

$$\Delta X_N = ۲,۰۴ * e^{۰,۱۴M} \quad (۳)$$

$$\Delta Y_N = ۲,۴۵ * e^{۰,۲۵M} \quad (۴)$$

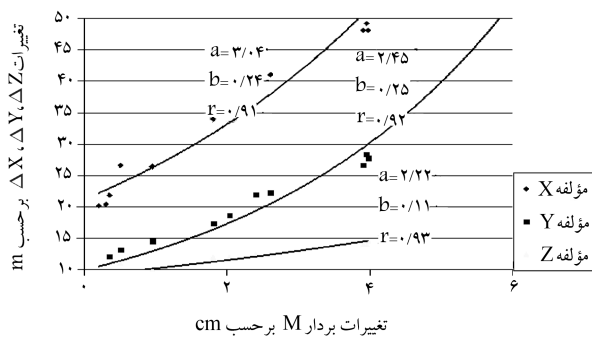
$$\Delta Z_N = ۲,۲۲ * e^{۰,۱۱M} \quad (۵)$$

$$\Delta X_N = ۲,۴۷ * e^{۰,۳۰۵M} \quad (۶)$$

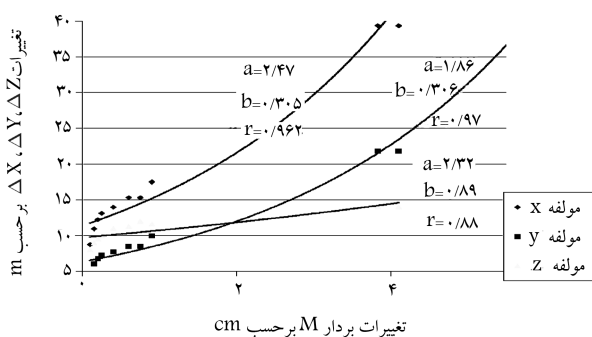
$$\Delta Y_N = ۱,۸۶ * e^{۰,۳۰۶M} \quad (۷)$$

$$\Delta Z_N = ۲,۳۲ * e^{۰,۸۹M} \quad (۸)$$

نرم‌افزار Surfer 8 این توانایی را دارد که مختصات نقاطه‌برداری شده را به کار بر ارائه دهد و همچنین کاربر می‌تواند نقاطی را که از هر ایستگاه برداشت می‌کند، با علائم خاصی نشانه‌گذاری کند.<sup>[۷]</sup> شکل ۶ نقاطه‌برداری را نشان می‌دهد. برای تعیین مختصات هر نقطه، از آن نقطه عمودی بر بردار  $M$  ترسیم و در ادامه از این عمود فاصله‌ی هر نقطه تا انتهای بردار را در راستای لغزش بر حسب سانتی‌متر



شکل ۶. تغییرات برای ناحیه‌ی راست.



شکل ۷. تغییرات برای ناحیه‌ی چپ.

را نشان می‌دهد، حال تغییرات آن را می‌توان نسبت به بردار  $M$  از انتهای بردار که بر روی تاج قرار دارد تا عمود بر نقطه‌ی  $b$  اندازه گرفت.

پس از آن که نقاطه‌نظری به نظری مشخص شد حال باید بتوان مقدار جابه‌جا‌یی را در سه راستای  $X, Y$  و  $Z$  نسبت به بردار  $M$  به دست آورد. با توجه به بردار  $M$  که در فضای قرار دارد پایستی دو زاویه بین بردارهای  $X, Y$  و  $Z$  معلوم باشد تا بتوان بردار  $M$  را تجزیه کرد. برای دو مؤلفه‌ی  $X$  و  $Y$  بردار  $M$  در صفحه‌ی  $X, Y$  تصویر شود، مشاهده می‌شود که با محور  $X$ ‌ها زاویه‌ی  $2\alpha$  درجه ساخته است. اگر تغییرات (طول  $a, b$ ) در راستای لغزش و در صفحه  $X, Y$  را  $\alpha$  بنامیم می‌توانیم طبق رابطه‌های ۱ و ۲ تغییرات را به دو مؤلفه‌ی  $X$  و  $Y$  تجزیه کنیم.

$$X_i = \alpha_i \cos 2\alpha \quad (۱)$$

$$y_i = \alpha_i \sin 2\alpha \quad (۲)$$

به منظور تعیین تغییرات در راستای مؤلفه‌ی  $Z$  نیاز به زاویه‌ی دوم است. با توجه به این که این زاویه را نمی‌توان تعیین کرد بدین منظور مؤلفه‌ی  $Z$  را با شمردن منحنی‌های تراز توپوگرافی مابین دو نقطه‌ی متناظر در راستای لغزش می‌توان به دست آورد (شکل ۵).

در مجموع تغییرات ۲۴ نقطه تعیین شد که ۱۱ نقطه‌ی آن مربوط به ناحیه‌ی راست ( $R$ ) و ۱۳ نقطه مربوط به رخمنون سطح لغزش‌اند. لازم به ذکر است که مربوط به جاده و مابقی مرتبط با رخمنون سطح لغزش‌اند. (با مقیاس ذکرشده) تبدیل به مقادیر واقعی بر روی زمین، و سپس این تغییرات به دو مؤلفه تجزیه شده است. برای مثال، چند نقطه از ناحیه‌ی راست و چپ در جدول ۱ اورده شده است. در این جدول،  $(cm)$  فاصله از مبدأ (تاج لغزش) تا عمود بر محل دو نقطه متناظر (نقطه‌ی لغزش یافته):  $\Delta M(cm)$  فاصله‌ی نظری بین دو نقطه‌ی جابه‌جا شده:  $\Delta M(m)$  تبدیل فاصله‌ی نظری با مقیاس  $\frac{۱}{۱۰۰}$  به مقدار واقعی در روی زمین:  $\Delta X(m)$  تجزیه‌ی  $\Delta M(m)$  در جهت مؤلفه‌ی  $x$  بر حسب متر:  $\Delta Y(m)$  تجزیه‌ی  $\Delta M(m)$  در جهت مؤلفه‌ی  $y$  بر حسب متر: و  $\Delta Z(m)$  مقدار مؤلفه‌ی  $z$  است و از شمارش خطوط تراز توپوگرافی بین دو نقطه متناظر بر حسب متر به دست می‌آید.

حال با توجه به نتایج به دست آمده -- تغییرات در راستای هر مؤلفه‌ی متناظر با  $M(cm)$  -- می‌توان از توابع برگشت‌پذیر روابطی به دست آورد تا براساس این روابط نقاطه‌ی لغزش به سمت بالا برگشت پیدا کنند. با توجه به انواع توابع برگشت‌پذیر (خطی، نمایی، لگاریتمی و توانی) و ضریب همبستگی هرکدام از توابع<sup>[۸]</sup>، توابع خطی و نمایی نزدیک‌ترین ضریب همبستگی نسبت به یک را داشتند. برای آن که بتوان از بهترین نوع توابع برگشت‌پذیر استفاده کرد، بایستی شکل حرکت توده در هر

جدول ۱. نمونه‌ی از نقاطه‌برداشت شده از روی نقشه توپوگرافی.

$\Delta Z$ (m)	$\Delta Y$ (m)	$\Delta X$ (m)	$\Delta M$ (m)	$\Delta M$ (cm)	$M$ (cm)	
۸	۴,۸۵	۸,۷۴	۱۰	۰,۲	۰,۱	$R_1$
۹	۶,۷۸	۱۲,۲۴	۱۴	۰,۲۸	۰,۲	$R_2$
۱۱	۷,۷۵	۱۳,۹۹	۱۶	۰,۳۲	۰,۴	$R_3$
۱۰	۷,۲۷	۱۳,۱۱	۱۵	۰,۳	۰,۲	$L_1$
۱۱	۹,۶۹	۱۷,۴۹	۲۰	۰,۴	۰,۳	$L_2$

نقطه با توجه به روابط ۱۰ تا ۱۱ محاسبه می شود.

$$X_{new} = X + \Delta X_N \quad (9)$$

$$Y_{new} = Y - \Delta Y_N \quad (10)$$

$$Z_{new} = Z + \Delta Z_N \quad (11)$$

که در آنها  $X, Y, Z$  مختصات نقاط نقشه برداری شده از هندسه ای بعد از لغزش اند.  $Z_{new}, Y_{new}, X_{new}$  نیز مختصات نقاط قبل از لغزش (مدل سازی شده) هستند. برای ترسیم نقشه ای توپوگرافی قبل از لغزش، مختصات نقاط مزبور یعنی نقاطی که در محدوده ای لغزش واقع شده اند (شکل ۸) را حذف و به جای آنها مختصات جدید جایگزین می شود. پس از اضافه کردن نقاط، توپوگرافی قبل از لغزش ترسیم می شود. شکل ۹ توپوگرافی قبل از لغزش و شکل ۱۰ نیز مدل شبیه سازی شده منطقه ای قبل از لغزش را نشان می دهد.

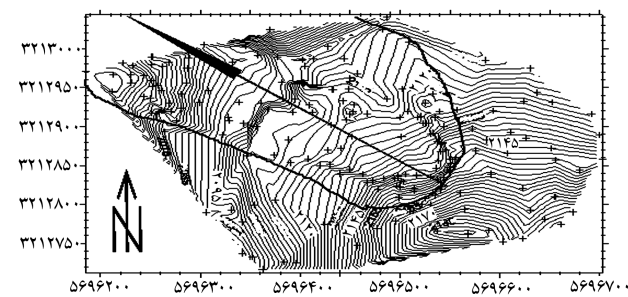
## ۵. نتیجه گیری

برای تعیین پارامترهای بسیج شده در هنگام لغزش، هندسه ای قبل از لغزش در یک شیروانی لغزش یافته مورد نیاز است. برای تعیین هندسه ای قبل از لغزش در صورتی که نقاط جابه جا شده در تاج و پاشنه ای لغزش وجود داشته باشند می توان با توجه به توابع برگشت پذیر روابطی برای برگشت دادن نقاط به مکان اولیه به دست آورد. اگرچه ممکن است روش مذکور خطاهایی داشته باشد، با توجه به عدم قطعیت می توان پارامترهای برشی در هنگام لغزش را تخمین زد. در روش های قبل برای تحلیل، با روش های مختلفی مثل بازدید صحرابی، ارتباط بین افزای بالای و میزان جابه جایی یک مقطع از هندسه ای قبل از لغزش تعیین می شد اما در این روش — با توجه به این که تعیین هندسه ای قبل از لغزش مدنظر است — با مقطع زنی بر روی هندسه ای قبل از لغزش و هندسه ای بعد از لغزش هم پوشانی این دو مقطع بر روی یکدیگر می توان بحرانی ترین مقطع را از لحاظ تغییر شکل بین دو مقطع قبل از لغزش و مقطع بعد از لغزش انتخاب کرد. همچنین برای صحبت نتایج به دست آمده از تحلیل برگشتی می توان این نتایج را بر روی مقاطع دیگر (از هندسه ای قبل از لغزش و بعد از لغزش) بررسی کرد.

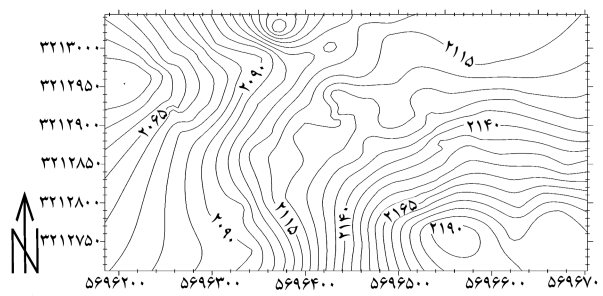
لازم به ذکر است که روابط به دست آمده فقط برای لغزش محمدآباد مورد استفاده قرار گرفته و برای سایر لغزش ها مستند نیستند. بدینهی است روش معروفی شده در این نوشتار را می توان برای استخراج روابط مورد نیاز برای بازسازی توپوگرافی هر لغزش دیگری به کار گرفت.

## منابع

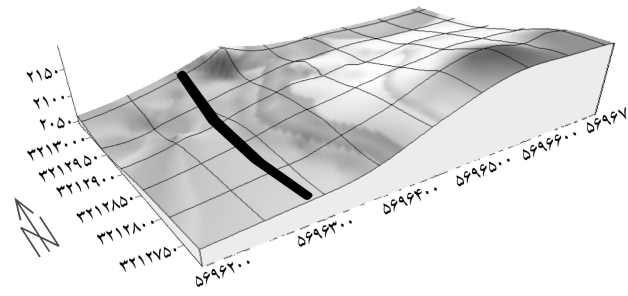
1. Bromhead, E.N., *The Stability of Slopes*. Second Edition. Chapman & Hall , London, (1994).
2. Sakurai, S. "Back analysis in rock engineering", In proc. Comprehensive rock engineering, john A. Hudson, Ed., 4, chap 19, pergamom press, London, pp. 453-569, (1993).
3. Mesgari Vash, A. and Karimi Nasab, S., "Investigation of effective Factors on Landslides of Mohammad Abad, Jiroft". In proceeding of the 22nd conference of engineering geology and environment, 12, Tarbiat Modares University of Tehran, Tehran, Iran(2008)



شکل ۸. نقاط نقشه برداری شده.



شکل ۹. توپوگرافی قبل از لغزش.



شکل ۱۰. مدل شبیه سازی شده منطقه قبل از لغزش.

اندازه می گیریم، و بحسب این که نقطه ای مذکور در پهلوی راست توده قرار دارد یا پهلوی چپ، آن را در روابط ذکر شده قرار داده و مختصات نقاط تعیین می شود. در روابط بالا  $M$  فاصله ای به دست آمده تا انتهای محور برای هر نقطه است. پس از آن که تغییرات برای هر نقطه به دست آمد در نهایت مختصات جدید هر